

# TP3: Alimentação Saudável

Reuben Nascimento Moraes

1 de dezembro de 2015

## 1 Introdução

O objectivo desse trabalho prático é implementar um programa que encontre combinações ótimas de alimentos para criar uma dieta com a quantidade adequada de calorias. Dada uma recomendação de um(a) nutricionista de quantas calorias consumir em cada refeição, e uma lista de alimentos, é possível montar uma refeição que atinge exatamente a quantidade desejada de calorias?

## 2 Análise de complexidade computacional do problema

Esse problema é conhecido na literatura como o problema da SOMA DE SUBCONJUNTOS.

**Definição 2.1** (SOMA DE SUBCONJUNTOS). Dado um conjunto de inteiros  $N$  e um inteiro  $b$ , existe um subconjunto  $T \subset N$  tal que  $\sum_{t \in T} t = b$ ?

**Lema 2.1.** SOMA DE SUBCONJUNTOS  $\in NP$

*Demonstração.* Dado o subconjunto resposta  $T$ , calcule  $\sum_{t \in T} t$  em tempo  $O(T) = O(N)$ . □

Sabendo que o problema é NP, reduziremos o problema de COBERTURA EXATA para o de SOMA DE SUBCONJUNTOS.

**Definição 2.2** (COBERTURA EXATA). Dada uma família  $S$  de subconjuntos de  $u$ ,  $|u| = t$ , existe uma subfamília  $T \subset S$  tal que os conjuntos em  $T$  são disjuntos e  $\cup T = \cup S = u$ ?

**Lema 2.2.** COBERTURA EXATA  $\propto$  SOMA DE SUBCONJUNTOS

*Demonstração.* Podemos representar todo subconjunto  $S_i$  como uma string de bits  $s_{ij}$ , onde o bit  $j$  é 1 caso  $u_j \in S_i$ . Por exemplo, para  $u = 1, 2, 3, 4, 5$ :

$$S_i = \{1, 2, 3\} \longrightarrow s_i = 00111$$

$$S_i = \{3, 4, 5\} \longrightarrow s_i = 11100$$

Calculamos então inteiros  $N_i$ , equivalentes a  $s_i$  na base  $d = |S| + 1$ :

$$N_i = \sum_{j=1}^t s_{ij} * d^{i-1}$$

Acabamos de representar subconjuntos como números inteiros, e união de subconjuntos como soma de inteiros. Basta então encontrar um subconjunto cuja soma representa  $u$ . Ora,  $u$  é simplesmente a string de bits com todos os bits iguais a 1, já que  $\forall j u_j \in u$ .

$$u = \underbrace{111 \cdots 1}_t$$

$$b = u \text{ na base } d = \sum_{i=1}^t d^{i-1} = \frac{d^t - 1}{d - 1}$$

Na base  $d$ , isso significa que cada bit 1 da soma corresponde a um único elemento de um único subconjunto, e portanto os subconjuntos são disjuntos. Uma interseção não nula entre subconjuntos resultaria em uma string do tipo 11211. De fato, no pior caso teríamos:

$$S = \{\{1\}, \{1, 2\}, \{1, 2, 3, \dots\}, \dots, \{1, 2, 3, \dots, x\}\}$$

$$N = \{000 \cdots 001, 000 \cdots 011, 000 \cdots 111, \dots, 111 \cdots 111\}(\text{base } d)$$

E a soma de todos os  $N$  subconjuntos, que contém todos os elementos em  $u$  mas não é uma resposta para o problema já que seus subconjuntos não são disjuntos, seria o valor correspondente à seguinte sequência de dígitos, que é diferente de  $b$ :

$$(d-1)(d-2)(d-3) \cdots (1)$$

Temos então a conversão de uma entrada  $(S, t)$  do problema COBERTURA EXATA para uma entrada  $(N, b)$  do problema SOMA DE SUBCONJUNTOS. A conversão de cada subconjunto para um número inteiro é feita em  $O(t)$ , e portanto toda a conversão é feita em tempo  $O(St)$ .  $\square$

**Teorema 2.3.** COBERTURA EXATA é NP-completo[1]. A partir dos lemas 2.1 e 2.2, SOMA DE SUBCONJUNTOS também é NP-completo.

### 3 Modelagem do problema

O problema é muito bem estudado, e existem várias alternativas propostas para resolvê-lo. Uma solução simples baseada em programação dinâmica de pior caso  $O(Nb)$  é ensinada em cursos de algoritmos[2]. Além disso, várias soluções paralelas existem na literatura, porém a maioria com complexidade de espaço exponencial, o que limita a aplicabilidade na prática.

Com o interesse de focar no uso de programação paralela para resolver o problema, foi implementada uma solução trivial do problema, uma busca exaustiva no espaço de soluções de tamanho  $2^N$ , como descrito no algoritmo 1.

---

#### Algoritmo 1: Força bruta

---

**Entrada:** Conjunto  $N$ , soma  $b$ .

**Saída:** *true* caso exista um subconjunto de  $N$  cuja soma é  $b$ , *false* caso contrário.

---

```

1 for  $i \leftarrow 0$  to  $2^{|N|} - 1$  do
2    $Soma \leftarrow 0$ 
3   for  $j \leftarrow 0$  to  $|N|$  do
4     if  $bit(i, j)$  then                                     /*  $bit(i, j)$  é o  $j$ -ésimo bit de  $i$  */
5        $Soma \leftarrow Soma + N_j$ 
6     end
7   end
8   if  $Soma = b$  then
9      $i$  é a solução do problema.
10    return true
11  end
12 end
13 return false

```

---

A partir dessa solução, podemos dividir o espaço de busca e executar várias buscas em paralelo, como descrito no algoritmo 2.

---

**Algoritmo 2:** Força bruta paralela

---

**Entrada:** Conjunto  $N$ , soma  $b$ , número de processadores  $P$ .

**Saída:** *true* caso exista um subconjunto de  $N$  cuja soma é  $b$ , *false* caso contrário.

```

1  $Total \leftarrow 2^{|N|} - 1$ 
2  $Início \leftarrow 0$ 
3  $Final \leftarrow -1$ 
4 for  $i \leftarrow 1$  to  $P$  do
5    $Início \leftarrow Final + 1$ 
6    $Final \leftarrow Total * (i/P) - 1$ 
7   Cria thread e executa força bruta de  $Início$  a  $Final$ 
8 end
9 Espera todas as threads terminarem, retorna true caso qualquer thread tenha retornado true
```

---

## 4 Análise teórica do custo assintótico

A análise do loop principal é trivial:  $2^N$  soluções são exploradas, cada uma em tempo  $O(N)$ . O tempo total sequencial do programa é  $O(N2^N)$ . Ao dividir o espaço de busca entre  $P$  processadores, a busca é executada em tempo

$$O\left(\frac{N2^N}{P}\right)$$

### 4.1 Análise teórica do custo assintótico de espaço

As únicas alocações do programa são para armazenar a entrada ( $O(N)$ ), e uma estrutura de tamanho  $O(1)$  para armazenar informações relevantes a cada thread ( $O(P)$ ). O custo total é

$$O(N + P)$$

## 5 Análise de experimentos

Para realizar a análise experimental, foram geradas entradas de tamanhos 10, 20, 30, 40, 50, todas elas com resultado “não”, de forma a medir o tempo de execução no pior caso. Para medir o tempo de execução do código, foi utilizada a API `mach_absolute_time`. Cada instância foi testada 3 vezes e o tempo de execução foi obtido retirando a média do tempo das 3 execuções. Os testes foram repetidos com 1, 2 e 4 threads. Os testes foram executados em uma máquina com processador Intel Core i7 2.6 GHz e 16GB de memória RAM.

A figura 5 demonstra tanto o tempo de execução exponencial quanto o paralelismo linear: o tempo de execução com  $N$  threads aproxima com precisão o tempo de execução com 1 thread dividido por  $N$ .

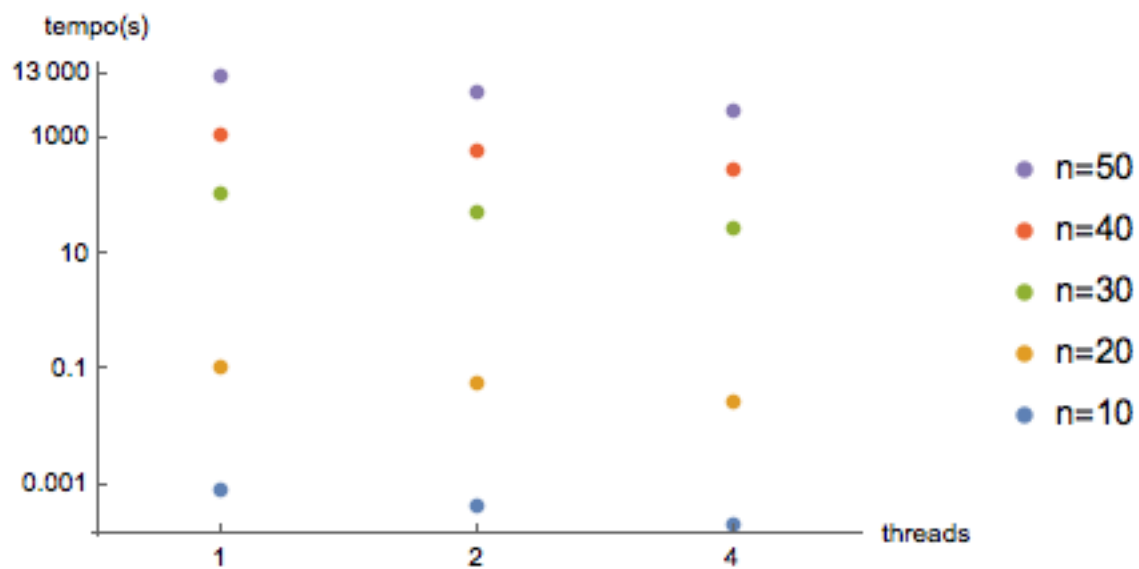


Figura 1: Tempo de execução para 5 tamanhos de entrada com 1, 2 e 4 threads. O eixo tempo tem escala logarítmica.

## Referências

- [1] Richard M Karp. *Reducibility among combinatorial problems*. Springer, 1972.
- [2] Thomas H Cormen. *Introduction to algorithms*. MIT press, 2009.